捨石堰の越流・透過流量に関する実験と解析

神戸大学大学院 学生員 〇南條雅志 神戸大学工学部 正会員 道奥康治 ㈱阪神電気鉄道 正会員 羽根田正則 岡山大学環境理工学部 正会員 前野詩朗

1.はじめに

不透過型の河川構造物が河川の縦断方向のつながりを分断するものとして非難を受けることが多くなって いる中、本研究では、捨石を用いた透過性構造物である「捨石堰」について、水理設計を行うために検討して きた. 道奥ら ¹⁾は、捨石堰体内のみを流れる非越流型の流れについて、水位と流量の関係を定式化し、水深 の指数関数に近似した流量算定式を提案している. 本報告では, 堰全区間において堰を越流する越流型流れ について、越流・通過流量の算定、流量に影響を及ぼす水理量について実験と理論解析より検証する.

2.水理実験

岡山大学環境理工学部に設置された長さ 5.0m×高さ 0.6m×幅 0.4m で勾配 i=1/400 において, 平均粒径: $d_m=1.9$, 4.1cm の二種類の石をそれぞれ長さ:L=30,60cm, 高さ: W= 10, 20cm の直方体に開水路に積み上げ、水路床勾配 i=1/400 のもとに実験を行った. 自由水面が完全に堰天端 を越えるように流量を調整しながら, 水深, 流速を計測 した. 流速はピトー管によって堰上中央断面の流速を計 測し、水深はポイントゲージと画像から計測した.

3. 理論解析

図-1 に越流型流れの模式図を示す.

- (1)急変流区間(0-I区間):0-I区間は、断面の一部が急縮と なる段上りの急変流と考え、運動量保存則から F_0 と γ_1 の関係が 得られる. ここで、 $F_0:0$ 断面における無次元流量、 $\gamma_1:0$ 断 面と I 断面の水深比である. また, 無次元 0 - I 区間長 $\Delta L/h_0$ に ついては、解析的に求めることは困難であるため、関連水理量 に関する次元解析を行い、経験式により求める.
- (2) 堰区間(I-II区間): I-II区間に関しては、堰上部を粗度 を持つ開水路流と堰体内を多孔質流との二層の流れに分けて考 え、堰天端においての質量・運動量の輸送・交換を考慮した運動 方程式を上下層それぞれについて立てる. これらと連続式を, 無次元化し連立させて解くことでⅠ-Ⅱ区間の水面形の理論解 が求まる.
- (3) 流量の解析:堰下流端において支配断面が現れ,微分方程 式の特異点条件が適用される.無次元流量 Foは,堰下流端にお いての水面形の解の特異点条件から決定される. 解析の流れを 図-2 に示す.

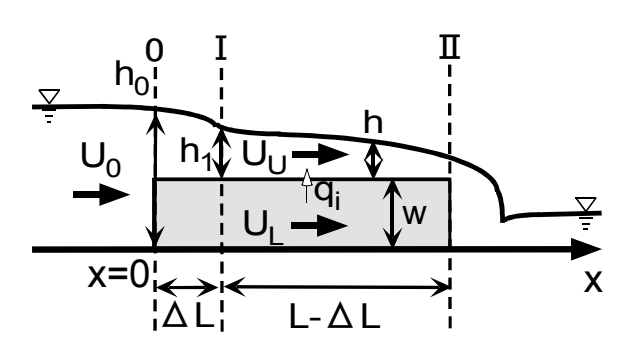
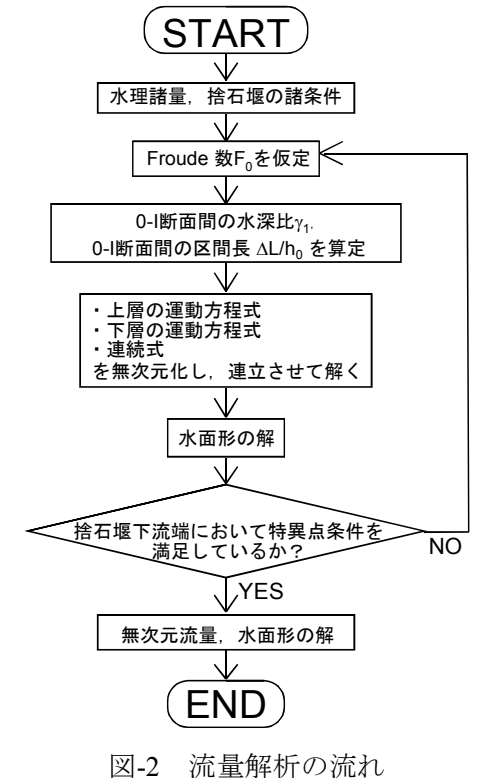


図-1 越流型流れの模式図



キーワード: 捨石堰、堰越流、流量算定

連絡先:〒657-8501 神戸市灘区六甲台町1-1 Phone: (078)803-6056, FAX: (078)803-6069

4. 流量の理論解

無次元流量 F₀の理論解と実験値を比較し、本理論の妥当性を以下に検証する.

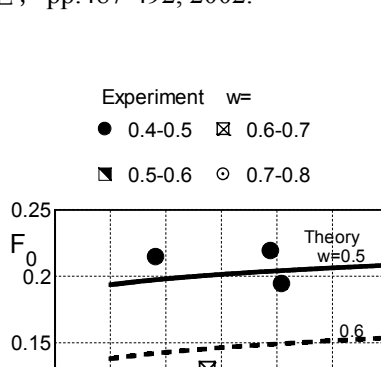
- (1) 無次元流量 F_0 と無次元堰高さ $w(=W/h_0)$ との関係:図-3 に無次元流量 F_0 と無次元堰高さ w との関係を示 す. 無次元堰高さwの増加に伴い無次元流量 F_0 は減少する. 理論値は実験値の傾向を良好に再現している.
- (2) 無次元流量 F_0 と Reynolds 数 Re との関係: 図-4 に無次元流量 F_0 と Reynolds 数 Re との関係を示す. Re がおおよそ $10,000\sim20,000$ 以上の範囲では無次元流量 F_0 におよぼす Reynolds 数の影響はほとんどなくなり、 堰体内の抵抗は主に乱流抵抗成分からなることが確認される.
- (3) 無次元流量 F_0 と無次元粒径 d_m/h_0 との関係:図-5に無次元流量 F_0 と無次元粒径 d_m/h_0 との関係を示す.無 次元粒径 d_{m}/h_{0} に伴い無次元流量 F_{0} が増加している。これは、堰体の間隙が粒径の増加に伴い、間隙の大き さが大きくなるためである.
- (4) 無次元流量 F_0 と間隙率nとの関係:実験では自然石を用いたために、粒径にともなう間隙率はそれほど 顕著に変化しなかった. しかし、実際には石礫の他に各種コンクリートブロックなど、様々な間隙率を持つ 透過性材料を用いる可能性がある. そこで、間隙率nが無次元流量 F_0 におよぼす影響を理論値から検証する. 図-6 に無次元流量 F_0 と間隙率n との関係を示す. 間隙率n が大きいほど流量は増加し、その傾向は堰が短い ほど顕著である.

(5) 流量の理論値 Q_{TH} と実験値 Q_{EX} との比較:図-7に全ての実験ケー

スに対して、理論値 Q_{TH} と 実験値 Q_{EX} との比較を示す. 理論値 Q_{TH} はやや小さめの 値を示しているが、両者の 一致度は広範な流量条件に 対して良好であり, 本理論 解析の妥当性が確認される.

参考文献

1) 道奥・前野・古澤・羽根 田:水工学論文集,第 46 巻, pp.487-492, 2002.



M

0.1

0.05

図-5 無次元流量 F₀ と 無次元粒径 $d_{\rm m}/h_0$ の関係

 $L/h_0 = 2.5$

 d_m/h_0

0.05 0.1 0.15 0.2 0.25 0.3

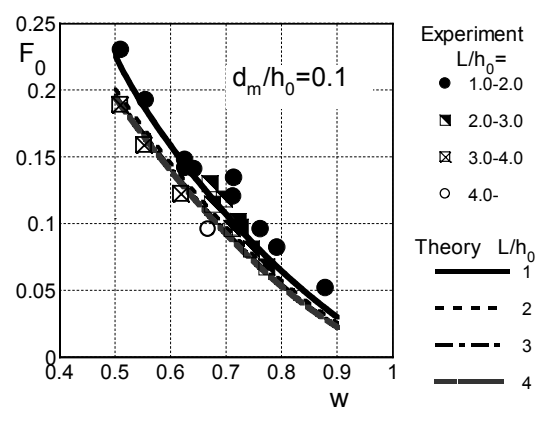


図-3 無次元流量 F₀ と 無次元堰高さ $w(=W/h_0)$ の関係

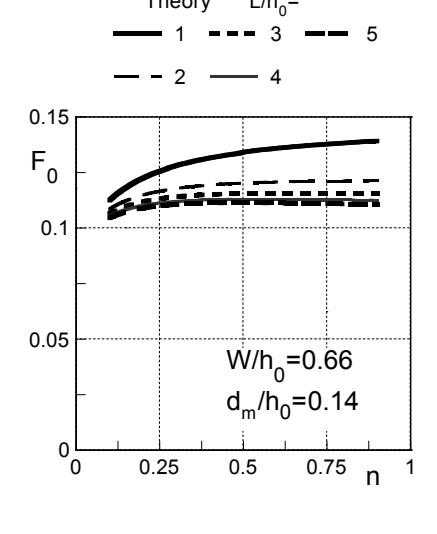
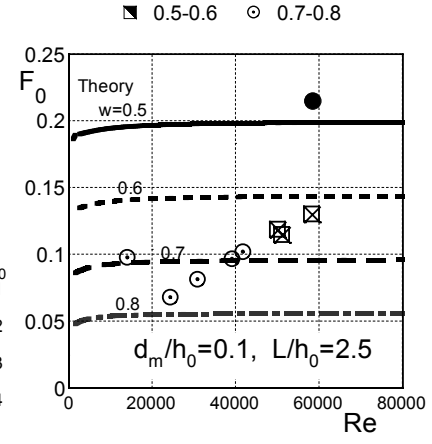


図-6 無次元流量 F₀ と 間隙率ηの関係



Experiment w=

☑ 0.6-0.7

0.4-0.5

図-4 無次元流量 F₀ と Reynolds 数 Re の関係

40000

20000

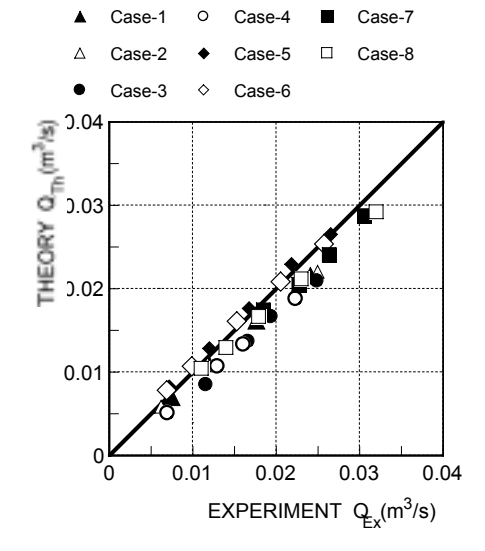


図-7 流量の理論値 Q_{TH} と 実験値 QEX との比較